CFRP 損傷の渦電流探傷法に関する研究

日大生産工(院) ○小島 剛基 日大生産工 小山 潔 星川 洋

1. はじめに

CFRP(炭素繊維強化プラスティック)は軽量かつ 剛性があることから、我々の身近なところではスポ ーツ用品や自動車、それ以外には新型旅客機やロケ ット構造の一部造部材など、非常に多くの分野で利 用されている。CFRP は薄い炭素繊維のシートに樹 脂を含浸させたプリプレグと呼ばれるものを積層し 加熱硬化して作られるのが一般的である(プリプレ グ法)。CFRP は外部からの衝撃を受けると積層間で 剥離などが生じ、強度が低下することが問題である ため、非破壊検査が行われている。 現在 CFRP に行 われている非破壊検査の手法としては、放射線透過 法や超音波探傷法があげられる 1)。放射線透過法は 大掛かりな装置が必要であり、被爆の危険性もある。 超音波探傷法は非常に正確な探傷が行えるが、長時 間にわたる探傷が必要であり、更には非接触での探 傷が困難であるという問題がある。そのため、広範 囲にわたる探傷には不向きである。以上のことから、 現在は広範囲を高速かつ安全に探傷が可能な簡易的 試験法の検討が求められている。

CFRPは金属に比べて低いが導電性を持っている。 そのため、電磁誘導を利用した非破壊検査法である 渦電流探傷法が適用できる。渦電流探傷法は非接触 かつ高速な探傷が可能となるため、簡易的な試験に 適しているといえる。そこで、本研究ではクロス積 層 CFRP に対して渦電流探傷プローブの中でも原 理的にプローブと試験体との間隔(リフトオフ)に よって発生する雑音の影響を受けずに探傷が可能な プローブの1つであるΘプローブ²⁰を用いた渦電流 探傷の検討を行った。

2. CFRP の構造と特性

本研究で対象とした CFRP はクロス積層 CFRP といい、図 1 に示されるように 0° 方向の繊維と 90° 方向の繊維を織り込んだ布(Cloth)形状のシートに樹脂を浸透させたプリプレグを積層して加熱硬化するプリプレグ法で製造されたものである。

クロス積層 CFRP は、積層間ではほとんど導電性を持たないが、同一プリプレグ内ではほぼ等方の導電性を持つ。

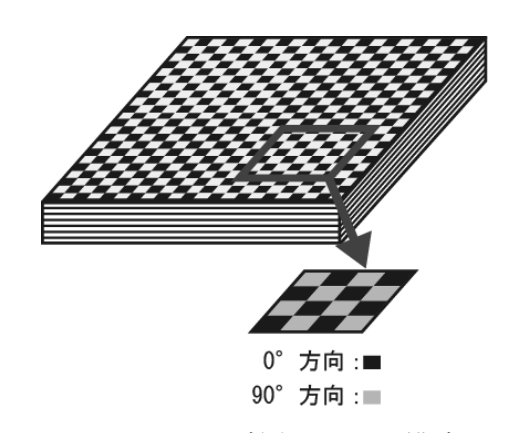


図1 クロス積層 CFRP の構造

3. 探傷原理

Θプローブの構造を図 2 に示す。Θプローブは、円形横置きの励磁コイルと矩形縦置きの検出コイル

Study on Eddy Current testing of CFRP Gouki KOJIMA, Kiyoshi KOYAMA and Hiroshi HOSHIKAWA により構成される。励磁コイルによってその巻線 方向に渦電流が誘導され、渦電流が損傷などを避 ける際に検出コイルの巻き線方向に流れる。検出 コイルの巻き線方向に流れた渦電流から生じる磁 束が検出コイルの内部を貫くことにより、検出コ イルに起電力が発生し、損傷信号が得られる。

生じる渦電流は図3(a)のように流れるため、検出コイルが渦電流を検出することはない。プローブが損傷に近付き、損傷の端を通過する場合には、励磁コイルから生じる渦電流は図3(b)のように損傷を避けるように流れるため、検出コイルが損傷を避けて流れた渦電流を検出する。プローブが損傷の中央を通過する場合には、励磁コイルから生じる渦電流は図3(c)のように流れるため、損傷がない場合と同様に、検出コイルが渦電流を検出することはない。

なお、クロス積層 CFRP の導電性は金属とは異なり完全な等方ではなく、織り込んだ繊維の方向に対して雑音がわずかに発生する。

4. 実験条件および実験方法

本実験ではクロス CFRP に対して人工的に損傷を与えた。試験対象であるクロス積層 CFRP の寸法は縦160mm, 横160mm, 厚さ3mm とした。図4のようにクロス積層 CFRP 上に先端の直径約1.0mm のドリルを配置し、重さ1.0kg の鉄球を、高さ0.25m, 0.5m, 0.75m, 1.0m からそれぞれ垂直落下させて CFRP を損傷させた。落下の際に鉄球に生じるエネルギー量が0.25J、0.5J、0.75J、1J となるため、以後は衝撃により生じた損傷をそれぞれ0.25J 損傷, 0.5J 損傷, 0.75J 損傷, 1J 損傷と呼ぶことにする。

 Θ プローブの寸法は励磁コイルの内径 7mm, 外径 9mm,巻線断面積 1×1 mm 2 であり、検出コイルの寸法は長さ 7mm,高さ 7mm,巻線断面積 1×1 mm 2 である。

CFRP は金属より導電性が低いため、金属に対

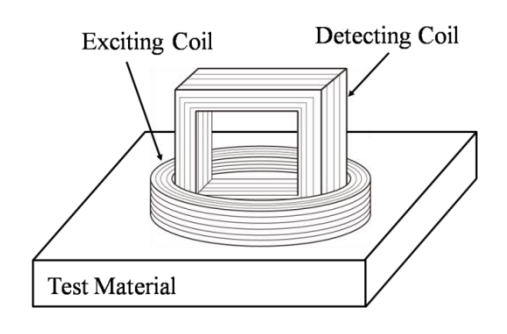
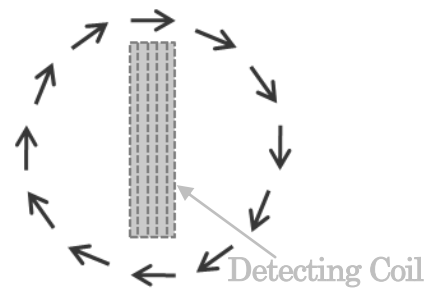


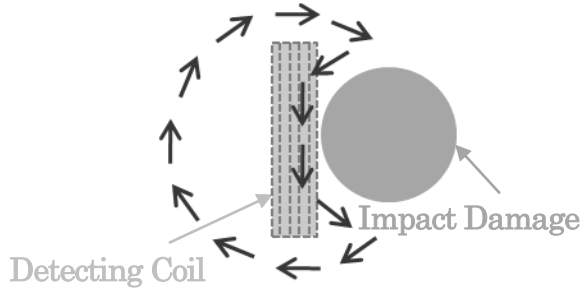
図2 Θプローブの構造

Eddy Current

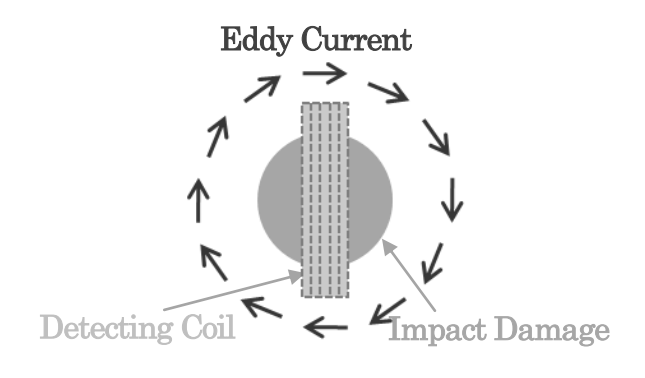


(a) 損傷がない場合

Eddy Current



(b) 損傷の端を通過する場合



(c) 損傷の中央を通過する場合

図3 損傷検出の原理

して渦電流探傷を行う際よりも高い 1MHz を探傷周波数とし、励磁コイルには交流 5V の電圧を印加した。CFRP の探傷範囲は、損傷のない部分では損傷のない箇所を XY 方向に±25mm、損傷のある部分では損傷のほぼ中心を原点とし、XY 方向に±25mm とし、どちらも 0.5mm 間隔でプローブを走査し、実験を行った。

5. 実験結果

図5には、探傷信号を示す。渦電流探傷法では、 実数成分と虚数成分が得られるが、図5では信号 振幅を示す。図 5(a)は損傷のない場合である。こ の場合、僅かだが波を打つように小さな雑音が発 生している。 図 5(b)は 0.25J 損傷を与えた場合で ある。白い円で囲った部分に SN 比は 1.2 と小さ いが、損傷信号が得られている。図5(c)は0.5J損 傷を与えた場合である。こちらは白い円で囲った 部分に明確な損傷信号が得られており、SN 比も 3.1 と大きくなっている。図 5(d)は 0.75J 損傷を 与えた場合である。こちらも白い円で囲った部分 に明確な損傷信号が得られており、SN 比は2.7 と大きくなっている。また、0.5J 損傷に比べると SN 比は低くなっているものの、損傷信号に広が りがあることがわかる。図 5(e) は 1J 損傷を与え た場合である。こちらも白い円で囲った部分に明 確な損傷信号が得られており、SN 比は8.8 と、 0.5J, 0.75J に比べて非常に大きくなっている。 また、損傷信号の広がりも0.75J 損傷より大きく なっていることがわかる。

次に、大きな損傷信号が得られた 0.5J, 0.75J, 1.0J 損傷および損傷のない箇所の 4 つについて、損傷の真上に対してプローブを走査した際の信号パターンを図 6 に示す。この信号パターンから損傷信号が得られた際の位相を算出し、CFRP に与えた衝撃と位相の関係を図 7 に示す。0.5J 損傷では 155.7° ,0.75J 損傷では 147.8° ,1.0J 損傷では 139.1° と、与えた衝撃が 0.25J 増加するたびに、 7.8° , 8.7° の位相差が見られており、

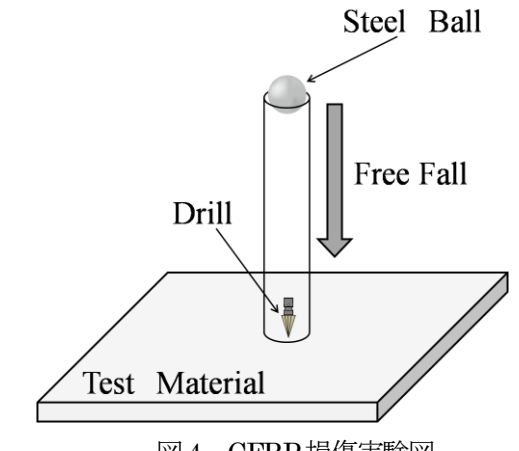
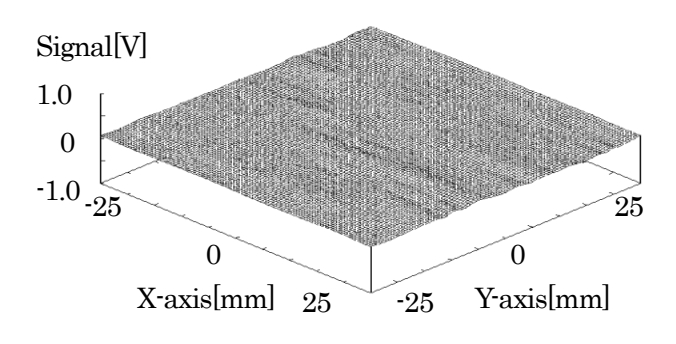
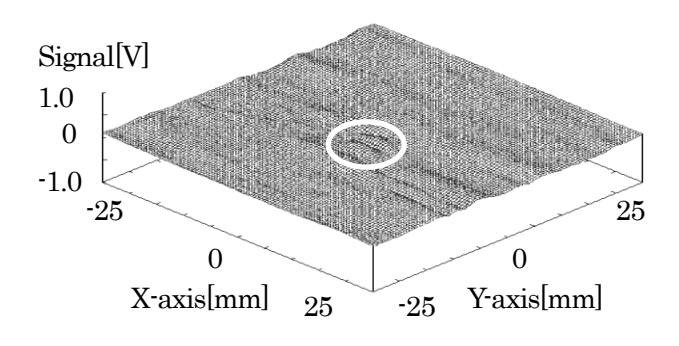


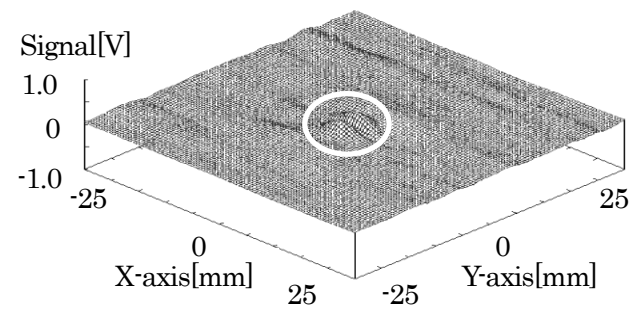
図4 CFRP損傷実験図



(a) 損傷がない場合



(b) 0.25J 損傷がある場合



(c) 0.5J 損傷がある場合図5 クロス積層 CFRP の探傷信号

比例的な直線を描くように位相が変化していることがわかる。

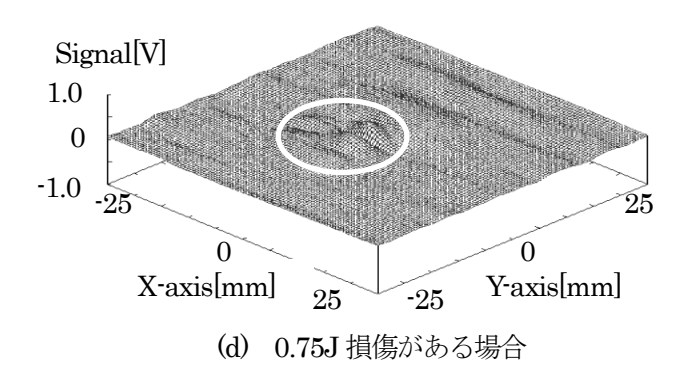
6. まとめ

Θプローブを用いた渦電流探傷法で、クロス積 層 CFRP に対して 1kg の鉄球を垂直落下させて 発生させた損傷の検出を行った。実験の結果、ク ロス積層 CFRP に対してΘプローブを適用する と、損傷のない場合では非常に僅かな雑音が発生 した。また、0.25J 損傷では SN 比は 1.2 と低か ったが、画像により損傷信号が見られた。0.5J以 上の衝撃を加えた際には、SN 比が 2.7~8.8 と高 く、信号振幅による損傷検出が可能である事がわ かった。0.5J 損傷と 0.75J 損傷を与えた時の信号 振幅に関しては、0.5J 損傷のほうが若干ではある が損傷信号の振幅が大きくなるなど不可解な点は 見られたが、0.5J~1.0J 損傷の位相変化をみると、 衝撃の大きさが変化することにより位相にも変化 が見られることがわかった。この結果より、与え た衝撃と位相に何らかの関係がある可能性が見え てくる。

今後は、試験体の厚さを変化させた際や、衝撃の大きさなどをさらに変化させて実験を行い、衝撃の大きさと振幅の関係や、衝撃の大きさと位相の関係についてさらに検討する。また、衝撃を与えた試験体の破壊検査や、超音波探傷法で損傷の形状を見る事によって、内部の損傷と信号の関連性について検討する予定である。

参考文献

- 1) 松嶋正道: CFRP の変遷、第 17 回新素材及 びその製品の非破壊評価シンポジュウム論文 集、pp121-124, (2009)
- 2) 星川洋、小山潔、柄澤英之: リフトオフ雑音の発生しない渦電流探傷新型上置プローブに関する研究、非破壊検査、50(11)、pp736-742, (2001)



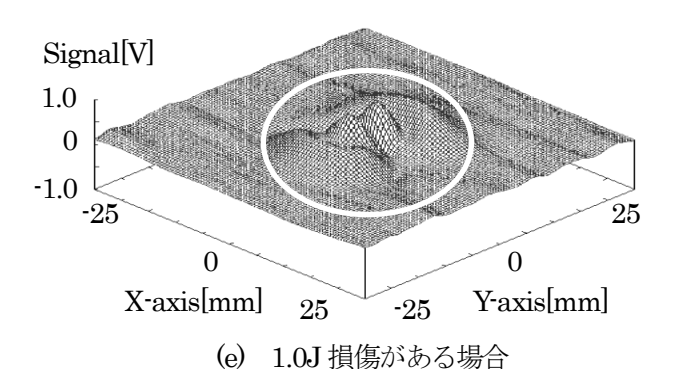


図 5.クロス積層 CFRP の探傷信号

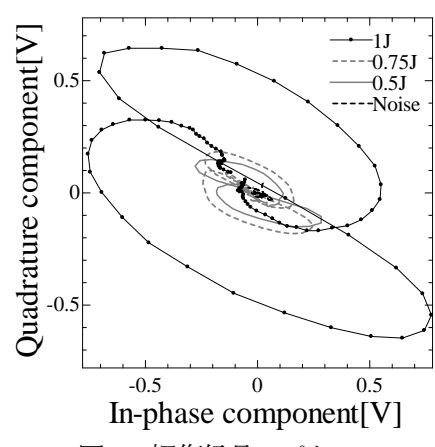


図6 探傷信号のパターン

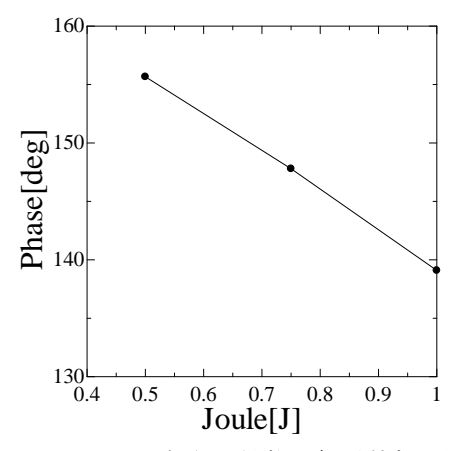


図7 CFRP に与えた衝撃と信号位相の関係